

تولید نانو کامپوزیت زمینه سرامیکی TiB_2 - TiC با روش MASHS استفاده از سه فرمولاسیون متفاوت

بهزاد امینی کیا^{۱*}، سید علی طبی فرد^۲، امیرعلی یوزباشی^۳

۱- کارشناس ارشد، پژوهشگاه مواد و انرژی، کرج، ایران

۲- استادیار، پژوهشگاه مواد و انرژی، کرج، ایران

*behzad_aminikia@yahoo.com

(تاریخ دریافت: ۱۴۰۰/۰۴/۱۰، تاریخ پذیرش: ۹۰/۰۵/۲۰)

چکیده

در این پژوهش، نانو کامپوزیت TiB_2 - TiC با استفاده از سه فرمولاسیون متفاوت^۱:^۲،^۳ (Ti/B/C)، (Ti/B4C) و (TiO2/H3BO3/Mg/C) به روش MASHS سنتز شد و تأثیر فعالسازی مواد اولیه بر ساختار نهایی نیز مورد بررسی قرار گرفت. مخلوط پودری اولیه از طریق آسیاب کاری مکانیکی فعال و سپس در یک کورهٔ تیوبی 1100°C سنتز شد. آنالیز XRD و SEM نمونه‌های آسیاب شده نشان داد که در مورد واکنش^(۲) و^(۳) فرآیند آسیاب به تنها بی نمی‌تواند در سنتز فازهای TiC و TiB_2 موفق باشد و انجام واکنش احتراقی جهت تکمیل فرآیند سنتز ضروری است. در مورد مخلوط^(۱)، مدت زمان ۶ ساعت آسیاب جهت سنتز محصولات کفایت نمود. آنالیز XRD و SEM نمونه‌های سنتز شده در کوره نشان داد که با پیش‌آسیاب کاری مخلوط^(۲) به مدت ۶ ساعت و مخلوط^(۳) به مدت ۱ ساعت بهترین نتایج به دست می‌آید.

واژه‌های کلیدی:

نانو کامپوزیت، کاربید تیتانیوم، فعال سازی مکانیکی، MASHS، سنتز احتراقی خودگستر دما بالا

۱- مقدمه

کامپوزیت‌های زمینه سرامیکی به واسطه بهبود قابل توجه مقاومت در برابر شکست به نسبت سرامیک‌های تک ترکیب توجه زیادی را به خود جلب کرده است. از ویژگی‌های بارز این سیستم‌ها می‌توان به خواص مکانیکی، مقاومت خوب در برابر اکسیداسیون و مقاومت شوک حرارتی و خواص حرارتی و الکتریکی عالی اشاره داشت. از جمله کاربردهای این کامپوزیت عبارتست از: قطعات سازه‌ای در جاهایی که خواص حرارتی،

با در نظر داشتن این نکته که تیتانیم دیبورید (TiB_2) و کاربید تیتانیم (TiC) هر دو دارای ویژگی‌هایی چون نقطه ذوب بالا، سختی بالا، مقاومت در برابر شوک حرارتی خوب، ثبات حرارتی بالا و سبکی هستند [۱]، بنابراین می‌توان انتظار داشت که کامپوزیت این ترکیبات که جزء کامپوزیت‌های زمینه سرامیکی محسوب می‌شود، علاوه بر دارا بودن این خواص، ویژگی‌های ممتاز مکانیکی را نیز داشته باشد. امروزه

گلوله‌ها و کاپ، انرژی بر بودن و طولانی بودن فرآیند برای جبران این نقصای اخیر آنوری که در حقیقت تلفیقی از آلیاژسازی مکانیکی و SHS است امتحان شده است و اتفاقاً در عین حال که مزایای MA در نیل به نانوساختارها را دارد از ویژگی‌های مثبت SHS از جمله زمان کوتاه واکنش و مصرف انرژی پایین نیز استفاده می‌کند. این روش با عبارت MASHS یا Mechanically Activated SHS معرفی می‌شود. هدف از اجرای این پژوهش بهینه‌یابی شرایط سنتز همزمان نانوکامپوزیت TiB₂-TiC به روشن MASHS به کمک بررسی‌های فازی و ریزساختاری است. در این راستا تأثیر زمان فعال‌سازی مکانیکی مواد اولیه بر ویژگی‌های فرآیند نیز بررسی می‌شود.

۲- مواد و روش تحقیق

در این پژوهش از سه فرمولاسیون متفاوت استفاده شد. اجزای سازنده و نشان اختصاری هریک از این سه فرمول در جدول (۱) آورده شده است.

جدول (۱): مواد تشکیل دهنده سه فرمولاسیون مورد استفاده در تحقیق
حاضر

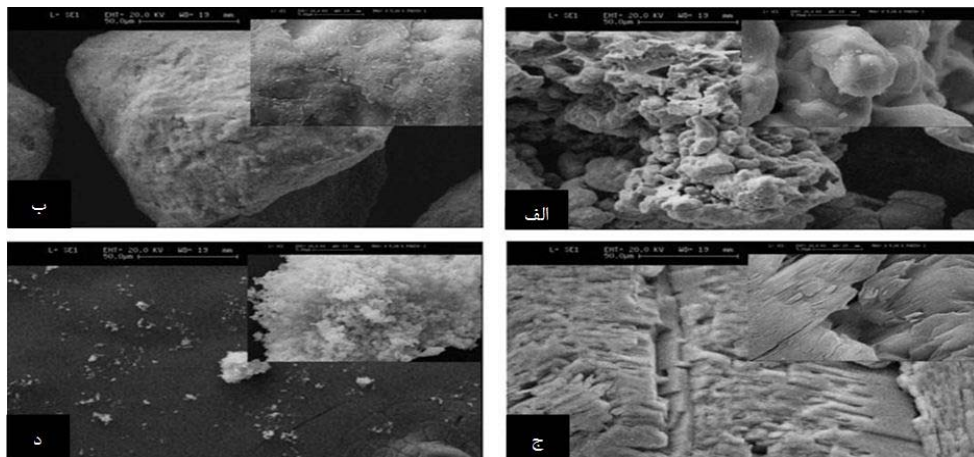
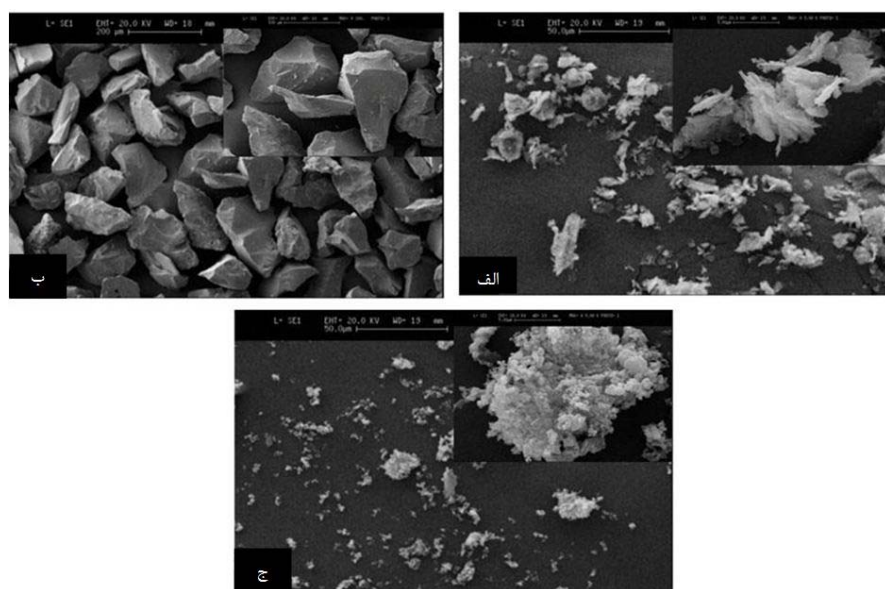
فرمولاسیون	نشان اختصاری
2Ti+2B+C	TBC
3Ti+B ₄ C	TB
2TiO ₂ +2H ₃ BO ₃ +Mg+C	HT

مشخصات کامل مواد مصرفی را در جدول (۲) و ریخت و مورفلوژی آنها در اشکال (۱) و (۲) می‌توان مشاهده کرد. جهت سنتز نانوکامپوزیت TiB₂-TiC، مواد اولیه پس از توزین برابر محاسبات استوکیومتری درون کاپ‌های آسیاب ریخته شده و از نسبت گلوله به پودر ۱۵ به ۱ (BPR:15:1) استفاده شد. جنس گلوله‌ها و کاپ‌ها فولاد زنگ نزن سخت‌کاری شده است. از مخلوط گلوله‌های ۱۰، ۱۵ و ۲۰ میلی‌متری برای بالا بردن بازده آسیاب استفاده شده است. با توجه به هگزارشات موجود در کارهای قبلی، در اینجا سرعت آسیاب ۲۵۰ دور بر دقیقه انتخاب شد.

مکانیکی، مقاومت به اکسیداسیون و شوک پذیری مهم است نظر: موتورهای جت، سپرهای حرارتی سفینه‌های فضایی و مبادله کننده‌های حرارتی، به عنوان قطعات مقاوم به سایش مثل قالب‌های شکل دهی و ابزار برش، به عنوان قطعات غیرسازهای نظیر کاشی دیوار در رآکتور هسته‌ای با مکانیزم هم‌جوشی، به عنوان قطعات هادی الکتریسته و حرارت (می‌توان فرمدهی نهایی این نمونه‌ها را با ماشین تخلیه الکتریکی (EDM) انجام داد). تهیه کامپوزیت از این دو ترکیب به روش معمول متالورژی پودر با توجه به اینکه نقطه ذوب این ترکیبات بسیار بالاست (نقطه ذوب TiC برابر ۳۱۴۰°C و نقطه ذوب TiB₂ برابر ۲۹۰۰°C) [۳] و شامل پیوندهای کوالان بسیار مستحکم هستند، مستلزم اعمال دماهای بسیار بالا به همراه اعمال فشار بر نمونه‌ها حین سیترینگ (پرس گرم) و زمان زیاد، درنهایت قطعات کامپوزیتی با ریزساختار نامناسب در نتیجه‌ی رشد افراطی دانه‌ها به دست می‌دهد. از طرف دیگر روش سنتز احتراقی SHS با قابلیت‌های بی‌نظیر خود توانایی سنتز همزمان این دو ترکیب را با حداقل مصرف انرژی، زمان کوتاه واکنش، بازدهی بالای فرآیند و خلوص بالای محصول، دارد. به طوری که محصول نهایی همگن‌تر و ریزدانه‌تر نسبت به روش متالورژی بدست می‌آید [۴ و ۵]. از طرف دیگر امروزه بهره‌گیری حداکثری از خواص مواد که به نوعی سنگ بنای نیازهای مبرم فن‌آوری امروزی است بدون بهره جستن از مزایای فن‌آوری نانو ممکن نیست. لیکن محصول SHS علیرغم ریزدانه بودن فراتراز نانو ساختارها است و می‌بایست با تمهیداتی این فرآیند در جهت سنتز نانو ساختارها بهینه شود. روش مرسومی که برای رسیدن به نانوساختارها و من جمله تهیه نانوکامپوزیت TiB₂-TiC اجرا می‌شود، روش آلیاژسازی مکانیکی (MA) است. این روش در عین حال که توانایی‌های خود را در رسیدن به ترکیبات فراییدار با ساختار نانو اثبات کرده است ولیکن مشکلاتی را نیز پیش روی محققین قرار داده است. برای مثال سنتز طیف وسیعی از فازهای واسطه به همراه فاز اصلی، ورود ناخالصی‌های ناشی از

جدول (۲): مشخصات مواد اولیه به کارگرفته شده در این پژوهش.

Art.No	شرکت	دانه بندی (μm)	خلوص (%)	ماده اولیه
1.12379	Merck	۱۵۰	۹۸	تیتانیوم (Ti)
1.12070	Merck	۲	۹۸	بور (B)
10-1056	Merck	۵۰	۹۹/۵	گرافیت (C)
378100	Aldrich	۲۰۰	۹۹	کاربید بور (B ₄ C)
1.05815	Merck	۱۰۰	۹۸/۵	منیزیم (Mg)
1.00808	Merck	۲۰۰	۹۵	اسید بوریک (H ₃ BO ₃)
165.050	Merck	۲۰۰	۹۸	اکسید تیتانیوم (TiO ₂)

شکل (۱): تصویر SEM پودرهای: (الف) C، (ب) Ti، (ج) Mg و (د) TiO₂ در دو بزرگنمایی مختلف (۲۰۰ و ۵۰۰۰ برابر)

شکل (۲): تصویر SEM مربوط به پودرهای: (الف) گرافیت، (ب) کاربید بور و (ج) بور در دو بزرگنمایی مختلف (۲۰۰ و ۵۰۰۰ برابر)

کشور سوئیس بوده و مدل آن SCDOOS است.

۳- نتایج و بحث

۳-۱ تحلیل ترمودینامیکی

برای اینکه یک واکنش شیمیایی قابلیت انجام به صورت SHS را داشته باشد باید دمای آدیباتیک متناظر با آن بیش از 1800 K باشد [۶].

شرط فوق در واکنش‌های به کار گرفته شده در این پژوهش برقرار است. دمای آدیباتیک (T_{ad}) این سه واکنش با استفاده از داده‌های ترمودینامیکی مربوطه [۷] و به کمک فرمول زیر پیش از انجام آزمایشات محاسبه شد:

$$-\Delta H^{\circ}_{298} = \int_{T_0}^{T_{ad}} \Delta Cp dT \quad (1)$$

در این فرمول (ΔCp) مجموع ظرفیت گرمایی ویژه محصولات، (T_0) دمای اولیه‌ی محیط و ΔH آنتالپی هر یک از واکنش‌های یاد شده است.

این دما برای فرمولاسیون اول (TBC) برابر ($T_{ad} = 3223\text{ K}$)، برای فرمولاسیون دوم (TB) برابر ($T_{ad} = 3225\text{ K}$) و برای فرمول سوم (HT) برابر ($T_{ad} = 3104\text{ K}$) بود. شرط فوق در مورد این سه واکنش برقرار است، لذا واکنش‌های فوق قابلیت انجام شدن به صورت SHS را دارند. شکل‌های (۳) تا (۵) نمودار (H-T) را به ترتیب برای فرمولاسیون‌های (TBC)، (TB) و (HT) نشان می‌دهند. منحنی‌هایی از این دست، برای واکنش‌هایی که به صورت SHS انجام می‌شوند به کار گرفته می‌شوند [۸ و ۱۱].

نمودار مذکور به کمک نرم افزار (Factsage) [۱۲] و با استفاده از داده‌های ترمودینامیکی [۷]، رسم شده است. این نمودار از دو منحنی هم راستا تشکیل شده است که یکی مجموع آنتالپی مواد اولیه (واکنش‌گرهای) یا همان $(\sum H(\text{Reactants}))$ و دیگری مجموع آنتالپی مواد محصول یا همان $(\sum H(\text{Products}))$ را نشان می‌دهد.

فرایند آسیاب به منظور فعال‌سازی مواد، طراحی گردید. جهت اطمینان از عدم اکسیده شدن مواد، کاپ‌ها پس از یک ساعت از پایان زمان آسیاب، درون محفظه با اتمسفر خنثی باز و نمونه برداری صورت گرفت.

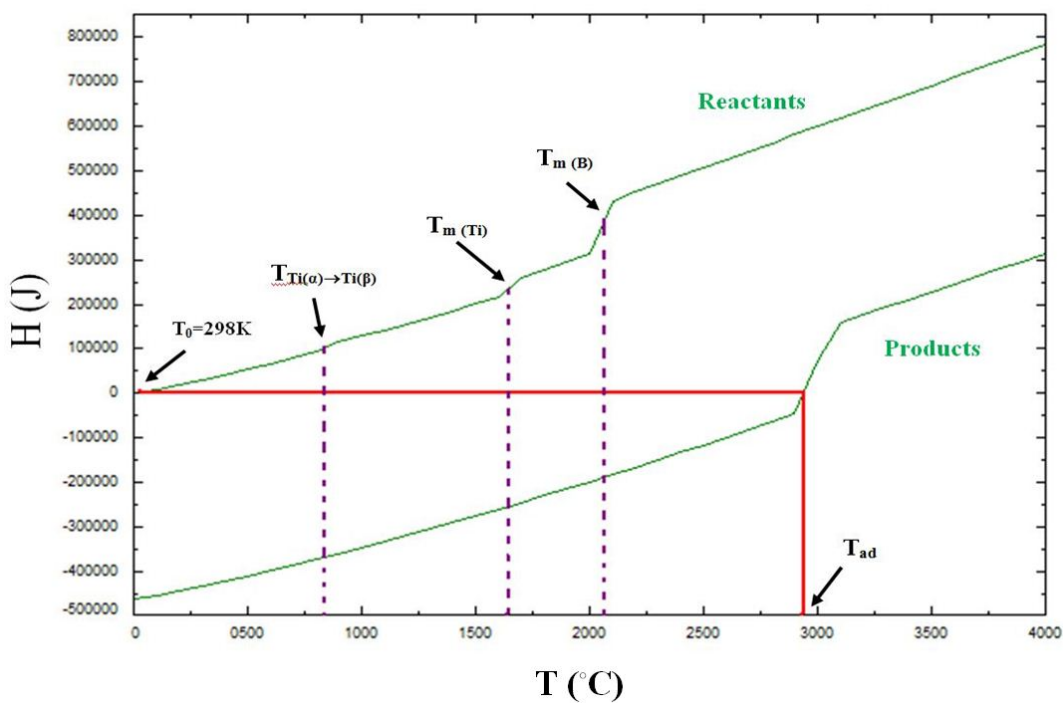
پودر بدست آمده از مرحله آسیاب، جهت ساخت قطعه مورد نظر برای واکنش سنتز احتراقی، درون قالب استوانه‌ای با سنبه 10 میلی‌متری با 300 MPa پرس گردید. رآکتور مورد استفاده در این پژوهش یک کوره تیوبی با قابلیت گرمایش 1200°C با تیوب کوارتزی، اتمسفر کنترل مجهز به جریان گاز خنثی (Ar) و دارای منطقه گرمایشی (Hot-Zone) یکنواخت حداقل 10 cm ساخت پژوهشگاه مواد و انرژی بود.

برای بررسی تغییرات ایجاد شده در ساختار ذرات پودر پس از زمان‌های مختلف آسیاب کاری و شناسایی فازهای پدیده آمده، از آنالیز پراش پرتو ایکس استفاده شد. دستگاه XRD مورد استفاده Philips مدل PW3710 تحت ولتاژ 40 kV و جریان 30 mA بود.

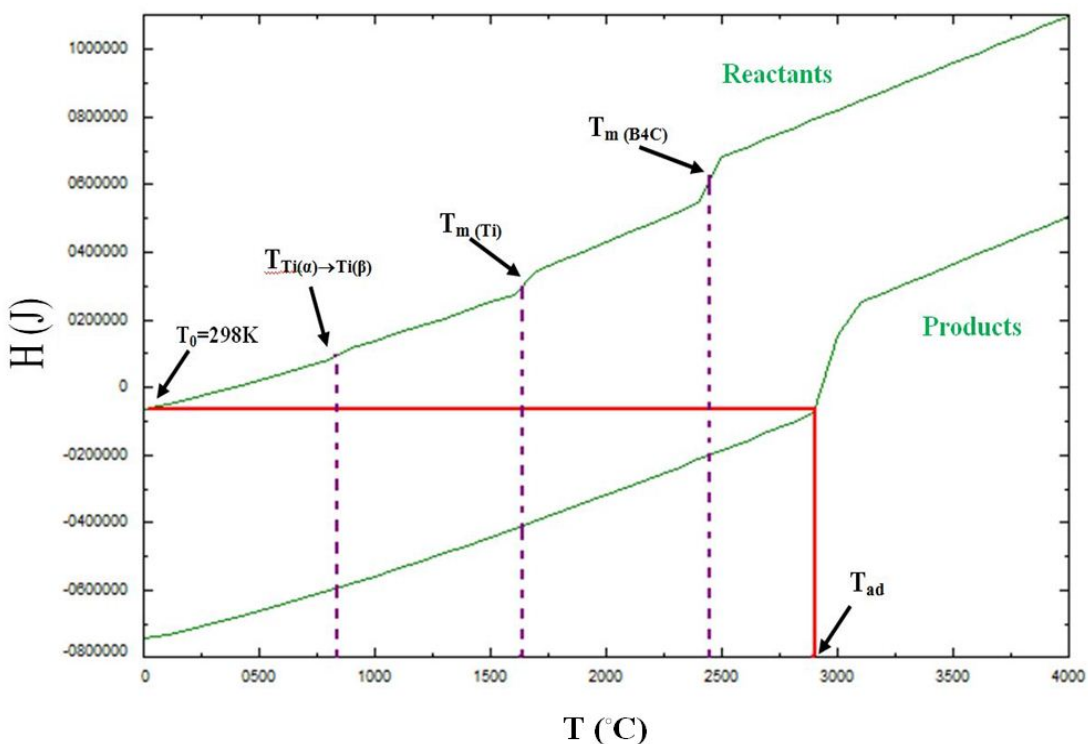
در هر دو دستگاه از پرتو ایکس با تیوب مسی $Cu\text{k}\alpha$ با طول $1/5404\text{ \AA}$ استفاده شد. زمان اقامت در هر 5 \AA ثانیه، اندازه 2θ درجه و محدوده 2θ بین 10° تا 80° درجه انتخاب شد. فازهای موجود با مقایسه زاویه پراش پیک‌های XRD با مقادیر ارائه شده در کارت‌های JCPDS توسط نرم افزار Pert HighScore شناسایی شدند. ریخت‌شناسی مواد اولیه و تغییرات ایجاد شده در ریخت ذرات پودر، پس از زمان‌های مختلف آسیاب کاری و نیز بعد از سنتز احتراقی، ارزیابی شد.

به این منظور از دستگاه میکروسکوپ الکترونی روبشی ساخت شرکت فیلیپس (Philips) کشور هلند و مدل XL30 استفاده شد. ولتاژ کاری 30 kV باشد. سطوح نمونه‌هایی که با میکروسکوپ SEM بررسی شدند، با نشاندن لایه نازکی از طلا هدایت الکترونی پیدا کرد تا وضوح تصاویر بهبود یابد.

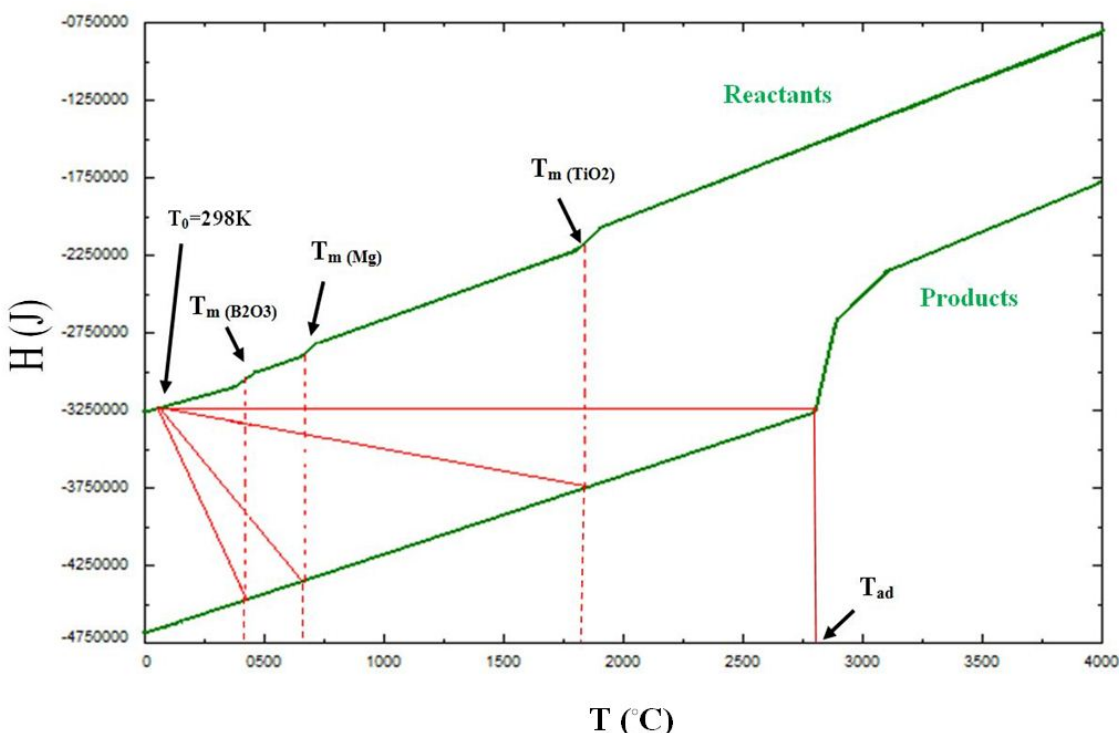
روش نشاندن طلا P.V.D یا physical vapor deposition می‌باشد. دستگاه لایه نشانی مورد استفاده در این پروژه sputter coater نام داشت که ساخت شرکت BAL-TEC از



شکل (۳): نمودار (H-T) برای فرمولاسیون اول (2Ti/2B/C)



شکل (۴): نمودار (H-T) برای فرمولاسیون دوم (3Ti/B₄C)

شکل (۵): نمودار (H-T) برای فرمولاسیون سوم ($2\text{TiO}_2/2\text{H}_3\text{BO}_3/\text{Mg}/\text{C}$)

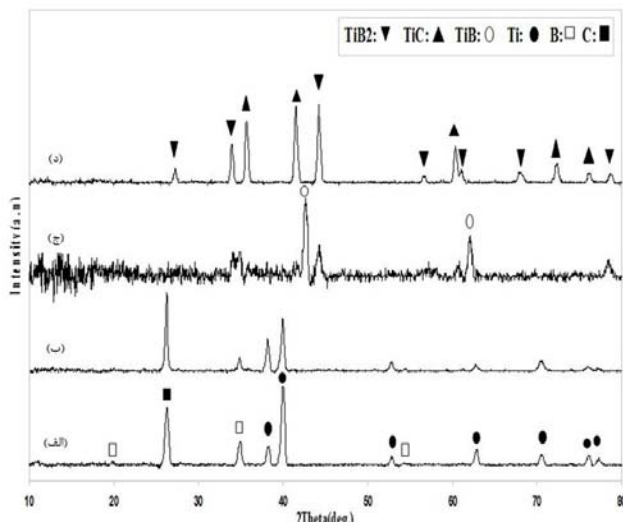
در صورت تحقق شرایط بی دررو (آدیباتیک)، در حین انجام واکنش دما به ($T_{ad} = 3225\text{K}$) خواهد رسید و ذوب مواد اولیه و تشکیل فاز مذاب در حین فرآیند صورت خواهد گرفت [۸ و ۹]. دمای آدیباتیکی که در بالا بدان اشاره شد، با مقدار گزارش شده توسط Klinger مطابقت دارد [۱۴]. از سوی دیگر با استفاده از نرم افزار فوق و با نک داده های ترمودینامیکی آن، مقادیر تغییرات انرژی آزاد و نیز تغییرات آنتالپی تشکیل مربوط به معادله $\Delta H^\circ = \sum \Delta H^\circ_f \text{products} - \sum \Delta H^\circ_f \text{reactants}$ بدست آمد.

این مقادیر به ترتیب (-668 KJ/mol) و (-680 KJ/mol) محاسبه شد که دال بر انجام پذیری و به شدت گرمایش بودن این واکنش دارد. در شکل (۵) نمودار (H-T) فرمولاسیون سوم دیده می شود اولیه ($\sum \Delta H^\circ_f \text{reactants}$) سه شکست دیده می شود. این شکستگی ها به ترتیب در 450°C (دمای مربوط به نقطه ذوب B_2O_3)، 650°C (دمای ذوب Mg) و نهایتاً در 1843°C (دمای مربوط به نقطه ذوب TiO_2) اتفاق افتاده اند.

همان طور که در شکل (۳) مشخص است، در شاخه $\sum \Delta H^\circ_f \text{Reactants}$ سه شکستگی وجود دارد. این شکستگی ها به ترتیب در 880°C (دمای مربوط به استحاله $\text{Ti}_{(\alpha)} \rightarrow \text{Ti}_{(\beta)}$)، 1660°C (دمای مربوط به نقطه ذوب Ti) و نهایتاً در 2092°C (دمای مربوط به نقطه ذوب B) دیده می شوند [۷]. در شاخه $\sum \Delta H^\circ_f \text{Products}$ نیز یک شکستگی پله ای وجود دارد که ما بین 2950°C و 3225°C امتداد دارد. در این محدوده ذوب TiB_2 و TiC به وقوع می پیوندد [۱۳] (شکل این ذوب شدگی شبیه به مواد آلیاری است و محدوده ذوب به شکل یک خط عمود بر محور (T) نیست. این خصیصه در مواد کامپوزیتی و دو فازی امری بدیهی و شایع است) [۸].

در شکل (۴) نیز همان طور که به وضوح مشخص است، در شاخه $\sum \Delta H^\circ_f \text{Reactants}$ سه شکستگی وجود دارد. این شکستگی ها به ترتیب در 880°C (دمای استحاله $\text{Ti}_{(\alpha)} \rightarrow \text{Ti}_{(\beta)}$)، 1660°C (دمای ذوب Ti) و نهایتاً در 2445°C (نقطه ذوب B_4C) دیده می شوند [۷].

آگلومراسیون ذرات است و نشان می‌دهد که چنین مدت زمانی نمی‌تواند در سنتر محصولات مفید واقع شود و لزوم انجام یک واکنش احتراقی جهت تکمیلِ فرآیند سنتر ضروری به نظر می‌رسد. در اینجا فرآیند آسیاب مکانیکی، تنها نقش فعال کردن مواد اولیه را ایفا کرده است [۱۷].



شکل (۷): الگوی XRD نمونه‌هایی با فرمولاسیون (TBC) (با: الف) بدون آسیاب(as-received)، (ب) ۶، (ج) ۹ و (د) ۱۲ ساعت آسیاب

که در آن‌ها عملیات آسیاب مکانیکی در سنتر TiB₂ و TiC موفق بود، نیازی نبود که در ادامه تحت عملیات SHS قرار گیرد زیرا واکنش کامل انجام یافته بود مکانیزم (Mechanically induced Self-propagating Reaction) اینجا مکانیزم کنترل کننده سنتز فازهای محصول بود [۱۸]. شکل (۸) الگوهای پراش نمونه‌های فوق (نمونه‌هایی که مکانیزم MSR در سنتر TiB₂ و TiC توفیقی نداشته است) را پس از سنتر در دمای ۱۱۰۰°C به روش SHS نشان می‌دهند.

بدیهی است که در مورد نمونه‌ی آسیاب نشده و نمونه‌ای که ۶ ساعت تحت آسیاب مکانیکی قرار گرفته، انجام یک مرحله فرآیند حرارتی در دمای ۱۱۰۰°C، جهت تکمیل واکنش SHS لازم به نظر می‌رسد. این در حالی است که در مورد نمونه ۱ ساعت آسیاب این امر چندان ضروری نیست (TBCM1). جالب است که در نمونه‌ی ۶ ساعت، پروسه‌ی عملیات آسیاب

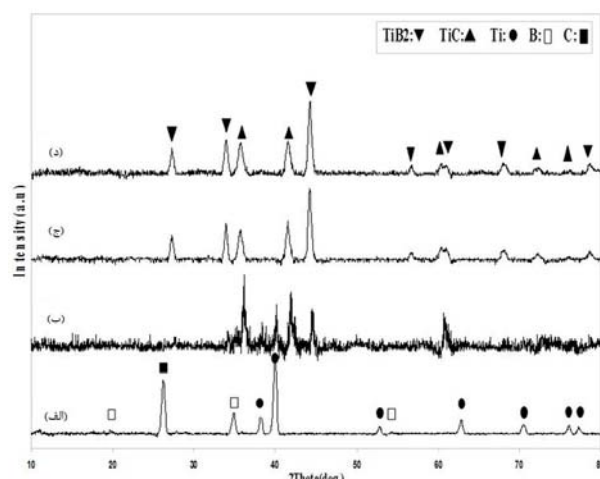
در صورت تحقق شرایطی دررو، دما به ($T_{ad} = 3104K$) خواهد رسید و ذوب مواد اولیه و تشکیل فاز مذاب در حین فرآیند صورت خواهد گرفت.

تغییرات انرژی آزاد و نیز تغییرات آنتالپی مخلوط واکنشی سوم ($TiO_2 + 2H_3BO_3 + 7Mg \rightarrow TiC + TiB_2 + 7MgO + 3H_2O$) به ترتیب (KJ/mol) ۱۴۶۸,۵۸ و ۱۵۱۲,۶۸ محاسبه شدند که بر انجام پذیری و به شدت گرمایابون این واکنش دلالت دارد [۱۵].

۲-۳ بررسی فازی و ریزساختاری

۱-۲-۳. بررسی فازی فرمول (2Ti/2B/C)

شکل (۶) الگوی پراش XRD نمونه‌هایی با فرمولاسیون واکنش (۱) (یا همان TBC) و تا ۳ ساعت آسیاب شده را نشان می‌دهد. همان‌گونه که دیده می‌شود در مدت زمان ۳ ساعت آسیاب، محصولات مورد نظر به طور کامل سنتز شده است (TBCM3). با افزایش زمان آسیاب (۶، ۹ و ۱۲ ساعت) تنها پیک‌های مربوط به محصولات پهن ترمی شود که نشان از کاهش ابعاد کریستالیت‌های TiC و TiB₂ است شکل (۷). این امر پدیده‌ای رایج در فرآیند آسیاب مکانیکی پودرهای سرامیکی است [۱۶].

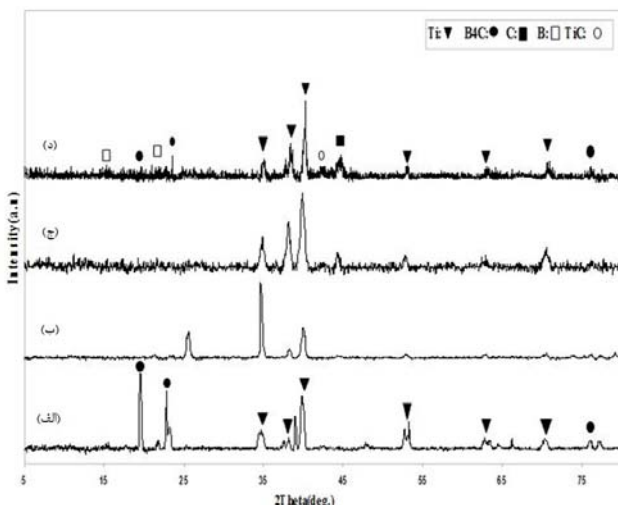


شکل (۶): الگوی XRD نمونه‌هایی با فرمولاسیون (TBC) (با: الف) بدون آسیاب(as-received)، (ب) ۵، (ساعت، ج) ۱۳ ساعت و (د) ۳ ساعت آسیاب

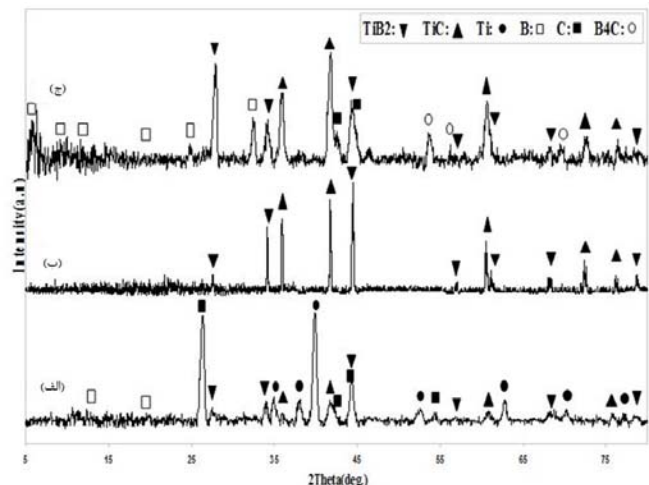
با آسیاب نمودن مواد اولیه به مدت ۶ ساعت، افزایش ابعاد بلورک‌ها دیده می‌شود. این مسئله ناشی از پدیده‌ی

چند که مقدار ناچیزی بور عنصری (با توجه به پیک‌های ضعیف مربوط به این ماده) در الگوی پراش پچ (مخلوط خام مواد اولیه) آسیاب نشده دیده می‌شود که منشأ آن نیز می‌تواند کاریب بور باشد. زیرا در بررسی پیک XRD کاریب بور، مقداری بور عنصری به عنوان ناخالصی شناسایی شد.

مکانیکی به حدی اثر نامطلوبی (از نظر تولید ذرات کلوخه‌ای و آگلومره شده) داشته که با نمونه‌ای که اصلاً آسیاب نشده، متناظر شده است. می‌توان نتیجه گرفت که انجام ۳ ساعت آسیاب کاری کافی بوده و لزومی به طولانی کردن مدت زمان آسیاب و یا انجام پروسه‌ی احتراقی تکمیلی نیست.



شکل (۹): الگوی XRD نمونه‌های (TB) (با: (الف) بدون آسیاب ، ب) ۱ و (ج) ۳ و (د) ۶ ساعت آسیاب



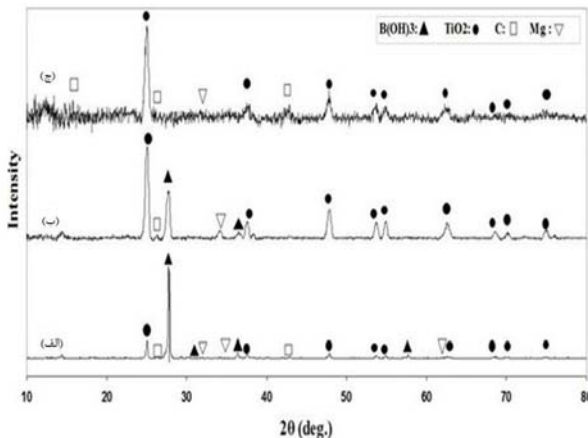
شکل (۸): الگوی XRD نمونه‌های (TBC) (با: (الف) بدون آسیاب ، ب) ۱ و (ج) ۶ ساعت آسیاب و سنتز شده در ۱۱۰۰ °C

این امر نه تنها یک عامل نامطلوب به شمار نمی‌آید، بلکه می‌تواند به عنوان یک منبع مناسب B جهت سنتز ترکیب TiB_2 به شمار آید و در تسریع انجام فرآیند SHS مفید باشد. عدم توانایی عملیات آسیاب کاری مکانیکی در سنتز فازهای فوق در پودرهایی که ۳ و ۶ آسیاب شده‌اند (TBM6 و TBM3) نیز قابل مشاهده است. هر چند که در نمونه ۶ ساعت آسیاب شده (شکل ۱۰)، الگوهای پراش اشعه X نمونه‌های آسیاب شده و سنتز شده در ۱۱۰۰ °C را نشان می‌دهد. همان‌طور که در شکل ۱۰-(الف) دیده می‌شود، در نمونه‌ای که آسیاب نشده و فقط در کوره و در دمای ۱۱۰۰ °C سنتز احتراقی شدند، سنتز با موفقیت همراه نبوده است و ترکیبات TiC و TiB_2 به مقدار ناچیزی تولید شده‌اند. در شکل ۱۰-(د) که الگوی پراش نمونه (TBM6-1100) را نشان می‌دهد، می‌توان پیشرفت قابل توجهی

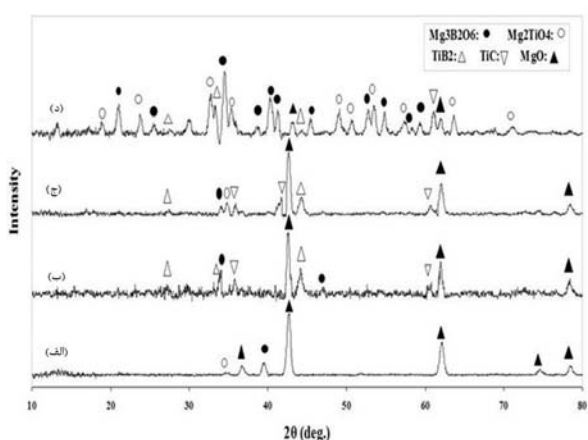
تنها تفاوت این دو نمونه در نوع مکانیزم تشکیل محصولات است که در اولی مکانیزم حاکم MSR ولی در دومی DRG (Gradual diffusion Reaction) است. اصولاً مکانیزم (Mechanically induced Self-propagating Reaction) به اختصار با عبارت MSR، نشان داده می‌شود، معمولاً در حین آسیاب طولانی مدت در مخلوط پودری اتفاق می‌افتد. در حالیکه مکانیزم (Gradual diffusion Reaction) که به اختصار با GDR، نشان داده می‌شود، معمولاً در فرآیند MASHS صورت می‌گیرد. دو مکانیزم فوق همواره در عملیات آسیاب مکانیکی، در تولید محصول نهایی در رقابت با یکدیگر هستند [۱۹].

۲-۲-۳. بررسی فازی فرمول $(3Ti/B_4C)$
در الگوی پراش اشعه X نمونه (TB)، به جز مواد اولیه که شامل Ti و B_4C هستند، از ماده دیگر اثری نیست (شکل ۹). هر

مکانیکی در دمای ۱۱۰۰ °C سنتز شده‌اند را نشان می‌دهد. در دمای ۱۱۰۰ °C نمونه (HTM1) نتایج بهتری از خود نشان داد.



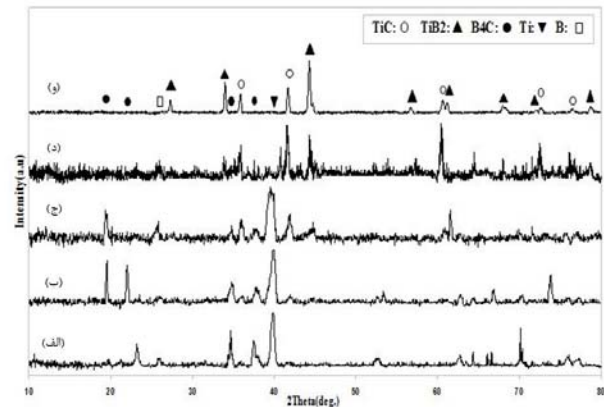
شکل (۱۱): الگوی پراش اشعه‌ی X نمونه‌های (HT) با آسیاب مکانیکی به مدت: (الف) ۵، (ب) ۱ و (ج) ۳ ساعت



شکل (۱۲): الگوی XRD نمونه‌ی: (الف) (HT-1100)، (ب) (HTM(0.5)-1100)، (ج) (HTM3-1100) و (د) (HTM1-1100)

شکل (۱۳) تصویر SEM نمونه‌های (TBC) را در دو بزرگنمایی مختلف (بزرگنمایی ۲۰۰ و ۵۰۰۰ برابر) نشان می‌دهد. ریزساختار نمونه‌ی (د) برخلاف دو نمونه‌ی اول چهار ذوب نقطه‌ای و بازآرایی شده است. این پدیده با توجه به توضیحات ارایه شده در مورد افزایش فعالیت شیمیایی نمونه‌ی سوم ناشی از زمان

را که در بهبود شرایط سنتز ایجاد شده است را به خوبی مشاهده نمود.



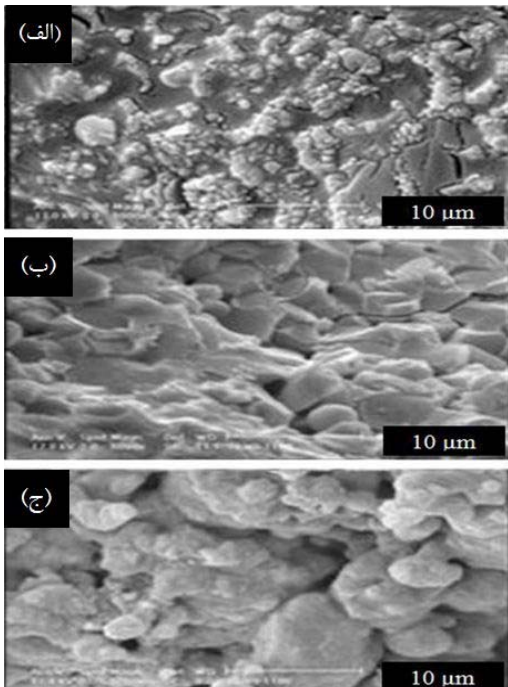
شکل (۱۰): الگوی XRD نمونه‌های (TB) با: (الف) بدون آسیاب ، (ب) ۱، (ج) ۳، (د) ۶ و (و) ۹ ساعت آسیاب و سنتز شده در ۱۱۰۰ °C

بی‌شک برای اثر گذاری یک فرآیند و یا یک عملیات سنتزی، یک زمان کمینه‌ای لازم است که به آن زمان اثر گذاری می‌گویند [۲۰]. باید چنین مدت زمانی طی شود تا فرآیند مذکور نقش خود را بر روی متغیرهای مورد مطالعه اعمال کند. در اینجا، برای فرمولاسیون (TB) این زمان حدود ۶ ساعت آسیاب است.

۳-۲-۳. بررسی فازی فرمول در شکل (۱۱) می‌توان الگوی پراش اشعه‌ی X را برای نمونه‌های با فرمولاسیون (HT) که به مدت ۵، ۱، ۳ و ۶ ساعت به کمک آسیاب مکانیکی، پیش فعال (Pre-Active) شده‌اند را مشاهده نمود. در این نمونه‌ها، آسیاب مکانیکی تنها در زمینه‌ی کاهش ابعاد کریستالی مخلوط اولیه موفق بوده است که این مطلب را نیز می‌توان از پهن شدگی پیک‌ها دریافت.

نکته‌ی قابل ذکر در این شکل، کوتاه شدن و در نهایت محبو شدن پیک اسید بوریک ($B(OH)_3$) است (در حدود $2\theta = 28^\circ$) که ممکن است ناشی از خروج رطوبت (Moisture) از این اسید باشد. پدیده‌ی فوق در موارد مشابه نیز دیده شده است [۲۱]. شکل (۱۲) الگوی XRD نمونه‌هایی را که پس از آسیاب

چنانچه پیشتر بیان شد در نمونه‌ی (HTM1-1100)، تیتانیوم در واکنش با گرافیت در مدت زمان بهینه‌ی آسیاب، توانسته ترکیب کاربیدی تشکیل دهد و در رقابت با منیزیم که عامل اصلی واکنش احتراقی است، می‌تواند با بور آزاد واکنش دهد.



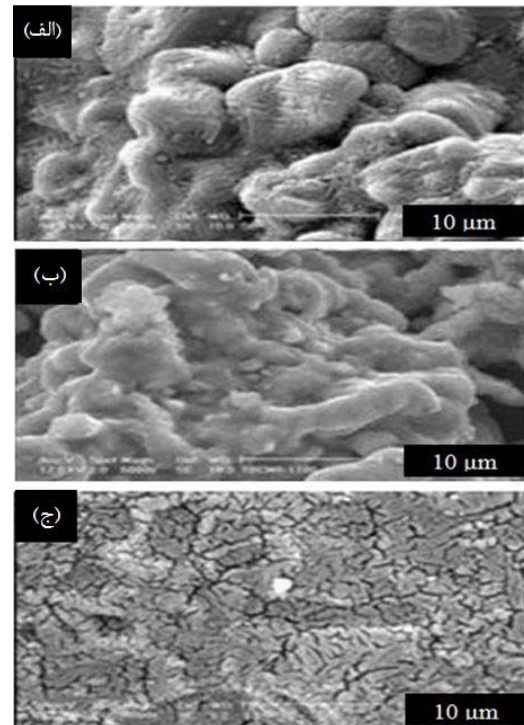
شکل (۱۴): تصاویر SEM نمونه‌های: (الف) (TBM3-1100)، (ب) (TBM6-1100) و (ج) (TBM9-1100) (بزرگنمایی ۵۰۰۰ برابر)

این در حالیست که در (HTM(0.5)-1100)، توده‌هایی به هم چسبیده و زمخت ناشی از تولید فاز مذاب حین سنتز است دیده می‌شود. این تمایز در تصاویر SEM این دو نمونه نیز کاملاً مشخص است شکل (۱۵). چرا که در نمونه‌ی (HTM1-1100) (شکل ۱۵-ب) دارای ریزساختاری با دانه‌های تقریباً مجزا است که با اتصالات جامد-جامد بهم پیوند خورده‌اند.

این در حالی است که در نمونه‌ی سنتزی که به مدت نیم ساعت پیش آسیاب شده (HTM(0.5)-1100) شکل (۱۵-الف) اجزای تشکیل دهنده‌ی ریزساختاری به راحتی از هم قابل تفکیک نیست.

آسیاب بالا قابل قبول است.

شکل (۱۴) تصاویر SEM نمونه‌های سنتزی (TB) با ۳ و ۶ و ۹ ساعت پیش آسیاب (TBM3-1100)، (TBM6-1100) و (TBM9-1100) را در دو بزرگنمایی مختلف نشان می‌دهد (بزرگنمایی ۲۰۰ و ۵۰۰۰ برابر). در مقایسه با دو نمونه‌ی نخست، نمونه‌ی (TBM9-1100) از ریزساختار ریز و یکپارچه‌تری تشکیل شده است. همه این نشان‌ها دال بر وجود فاز مایع حین سنتز است.



شکل (۱۳): تصاویر SEM از سطح شکست نمونه‌های: (الف) (TBCM1-1100)، (ب) (TBCM3-1100) و (ج) (TBCM6-1100) (بزرگنمایی ۵۰۰۰ برابر)

اصولاً تشکیل فاز مایع حین فرآیند سنتز احتراقی کامپوزیت‌های زمینه سرامیکی (CMC) باعث تقویت پدیده‌ی نفوذ در مدت زمانی بس اندک است [۲۲]. فاز مایع در سیلان و انتقال مواد نقشی انکار نشدنی داشته و ریزساختاری که از این طریق حاصل می‌شود ریزساختاری همگن و با خواص فیزیکی و مکانیکی بالایی است.

فرآیند SHS متعاقب را از بین برد.

۲- با افزایش زمان آسیاب، تنها پیک های محصولات، پهن تر شد که حاکی از کاهش ابعاد کریستالیت های TiB_2 و TiC بود.

۳- تصاویر SEM حاکی از ریزساختار متخلخل نمونه ها بود که افزایش همزمان دمای واکنش و مدت زمان آسیاب کاری، ذوب موضعی سطح دانه ها و ایجاد نوعی ناهمگونی در اندازه ذرات می شود.

(3Ti/B₄C)

۱- آسیاب کردن مخلوط پودری فوق در شرایط $BPR = 15:1$ و سرعت 250 rpm در اتمسفر آر گون تا 20 ساعت زمان آسیاب تغییری در ترکیب پودر ایجاد نکرده و تنها پهن شدگی پیک ناشی ریزدانگی و انحلال بخشی از تیتانیوم در کاریبد بور را درپی داشت، که جابجایی پیک مربوط به آن قابل تشخیص بود.

۲- عملیات آسیاب کاری پیش از فرآیند SHS و آن هم به مدت 3 ساعت، سنتز محصولات را در (3Ti/B₄C) پی نداشت و تنها به خردایش و ریزدانگی و البته فعل شدن پودر واکنش گر، منجر شد.

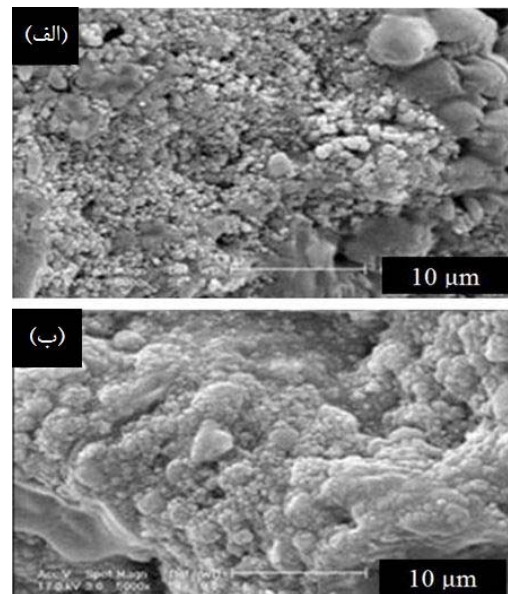
۳- تصاویر SEM حاکی از ظاهری متخلخل بود. نمونه هایی حاوی ریزساختاری همراه با ذوب موضعی تا نمونه هایی با ریزساختار نسبتاً یکنواخت و ریزدانه، که عمدتاً در دماهای بالا شکل می گیرند.

۴- با بررسی نتایج حاصل از آنالیزهای XRD و SEM، در بین نمونه های سنتز شده مربوط به این مخلوط واکنشی، نمونه ای که به مدت 9 ساعت تحت آسیاب مکانیکی قرار گرفته و سپس در 1100°C سنتز شده بود به عنوان نمونه بھینه انتخاب شد.

(2TiO₂/2H₃BO₃/Mg/C)

۱- آسیاب کردن مخلوط پودری در شرایط $BPR=15:1$ و سرعت 250 rpm در اتمسفر آر گون تا 3 ساعت زمان آسیاب تغییری در ترکیب پودر ایجاد نکرده و تنها پهن شدگی پیک ناشی ریزدانگی را درپی داشت.

۲- محو شدن پیک مربوط به اسید بوریک $(B(OH)_3)$ در حدود 28°C پس از 3 ساعت آسیاب مکانیکی دیده شد که



شکل (۱۵): تصویر SEM نمونه های (الف): (HTM(0.5)-1100) و (ب): (HTM1-1000) در بزرگنمایی ۵۰۰۰ برابر

۴- نتیجه گیری

در این پژوهش نانو کامپوزیت TiB_2-TiC به روش MASHS سنتز و تأثیر فعال سازی مواد اولیه بر ریزساختار نهایی مورد بررسی قرار گرفت. بدین منظور از 3 واکنش متفاوت زیر:

$$(2Ti/2B/C) \quad (1)$$

$$(3Ti/B_4C) \quad (2)$$

$$(2TiO_2/2H_3BO_3/Mg/C) \quad (3)$$

جهت دستیابی به ساختار نانو کامپوزیتی فوق استفاده شد. ابتدا با استفاده از روش آسیاب مکانیکی، مخلوط پودری اولیه فعل شد. سنتز ترکیب نانو کامپوزیت TiB_2-TiC با روش MASHS و بررسی پارامترهای موثر بر ریزساختار و شکل گیری آن این نتایج را بدست داد:

(2Ti/2B/C)

۱- آسیاب کردن مخلوط پودری فوق در شرایط $BPR=15:1$ و سرعت 250 rpm در اتمسفر آر گون تا 3 ساعت زمان آسیاب باعث سنتز ترکیب TiB_2-TiC شد (در این نمونه مکانیزم (Mechanically induced Self-propagating Reaction) مکانیزم کنترل کننده سنتز فازهای محصول بود و لزوم انجام

- [2] S. K.Lee, D. Kim, C. K. Kim, "Fabrication of TiC/TiB₂ Composites by the Directional Reaction of Titanium with Boron Carbide". *J. Mater. Sci.*, Vol. 29, pp. 4125–30, 1994.
- [3] D. Vallauri, I.C. Atias Adrian, A. Chrysanthou, "TiC-TiB₂ Composites: A Review of Phase Relationships, Processing and properties", *J. Eur. Ceram. Soc.*, Vol. 28, pp. 1697–1713, 2008.
- [4] F. Charlot, F. Bernard, E. Gaffet, D. Klein and J. C. Niepce, "In Situ Time-Resolved Diffraction Coupled With a Thermal I.R.Camera to Study Mechanically activated SHS Reaction : Case of Fe-Al Binary system", *Acta mater.* Vol. 47, pp. 619-629, 1999.
- [5] س. ع. طبیعی فرد، ر. یزدانی راد، ق. کاوه ای، ا. کاظم زاده، "سترن کامپوزیت‌های نانو ساختار با ترکیب MoSi₂-SiC به روش هماشن ملی مواد نو، پژوهشگاه مواد و انرژی، خرد ۱۳۸۸".
- [6] H. Zhao, Y. Cheng, "Formation of TiB₂-TiC Composites by Reactive Sintering". *Ceram. Int.*, Vol. 25, pp. 353–358, 1999.
- [7] O. Knacke, O. Kubashevski, K. Hessermann, "Thermochemical Properties of Inorganic Substances". 2nd ed. Vols. 1&2. Berlin Springer, 1991.
- [8] Z.A. Munir and U. Anselmi, "Self-Propagating Exothermic Reactions: the Synthesis of High-Temperature Materials by Combustion". *Mater. Sci. Rep.* Vol. 3, pp. 277-365, 1989.
- [9] Z. Y. Fu, H. Wang, W. Wang and R. Z. Yuan, "Composites Fabricated by Self-Propagating High-Temperature Synthesis". *J. Mater. Process. Technol.*, Vol. 8, p. 137-144, 2003.
- [10] J. Moore and H. J. Feng, "Combustion Synthesis of advanced materials: part I. Reaction Parameters". *Prog. Mat. Sci.*, Vol. 39, pp. 243-273, 1995.
- [11] J. Moore and H. J. Feng, "Combustion Synthesis of Advanced Materials: Part II. Classification, Applications and Modeling". *Prog. Mat. Sci.*, Vol. 39, pp. 275-316, 1995.
- [12] C.W. Bale, A.D. Pelton, W.T. Thompson, FactSage 5.4 Thermochemical Software for WindowsTM, Thermfact Ltd., Montreal, Quebec.
- [13] H. Duschanek, P.Rogl, and H. Lukas, "A Assessment and Thermodynamic Calculation of the Boron-Carbon-Titanium (B-C-Ti) Ternary System". *J. Phase Equilib.* Vol. 16(1), pp. 46–60, 1995.
- [14] L. Klinger, I. Gotman, and D. Horvitz, "In Situ Processing of TiB₂/TiC Ceramic Composites by Thermal Explosion Under Pressure: Experimental Study and Modeling". *Mater. Sci. Eng. A-Struct. Mater. Propr. Microstr.* Vol. 302, pp. 92–99, 2001.
- [15] L. Brewer and H. Haraldsen, "The Thermodynamic Stability of Refractory Borides". *J. Electrochem. Soc.*, Vol. 102, pp. 399–406, 1955.
- [16] J.W. Lee, Z. A. Munir and M. Ohyanagi, "Dense Nanocrystalline TiB₂-TiC Composites Formed by Field Activation from High-Energy Ball Milled Reactants". *Mater. Sci. Eng. A-Struct. Mater. Propr. Microstr.*, Vol. 325, pp. 221–227, 2002.

ناشی از خروج رطوبت (Moisture) از این اسید و تجزیه‌ی آن به اجزای خود یعنی H_2O و B_2O_3 بود که این پدیده با توجه به برخوردها و اصطحکاک شدید بین گلوله‌ها با یکدیگر و نیز گلوله‌ها با پودر و بالا رفتن دمای مخلوط فوق، توجیه شد.

۳- فازهای فرعی و نامطلوبی از قبیل $Mg_3B_2O_6$ و Mg_2TiO_4 در محصولات این مخلوط پودری شناسایی شد که حضور این مواد نشانگر سترن احتراقی ناقص مخلوط واکنشی بود.

۴- با بررسی الگوهای پراش اشعه X نمونه‌های سترنی، نمونه‌ای که به مدت یک ساعت آسیاب و سپس در ۱۱۰°C سترن شده بود، درین کل نمونه‌های مربوط به این فرمولاسیون به عنوان نمونه‌ی بهینه انتخاب شد.

با مقایسه نتایج حاصل از این سه فرمولاسیون متمازی می‌توان گفت که سترن نانو کامپوزیت TiB_2 -TiC از طریق فرمولاسیون سوم هر چند با مدت زمان آسیاب اولیه‌ی کمتری همراه شد ولی در عین حال با دور ریز بیشتری از مواد اولیه نیز همراه بود و علاوه بر این در مقایسه با فرمولاسیون دوم ($3Ti + B_4C$)، میزان فاز TiB_2 کمتری نیز در اینجا حاصل خواهد شد چرا که بخشی از این فاز در حین عملیات لیچینگ شیمیایی (به دلیل حساسیت غیر قابل اجتناب TiB_2 نانومتریک به هرگونه عملیات لیچ) از محصول نهایی خارج خواهد گشت. با این حال، تولید نانو کامپوزیت TiB_2 -TiC از طریق مخلوط واکنشی پایین مواد اولیه‌ی این فرمولاسیون در قیاس با دو مخلوط واکنشی دیگر پیشنهاد می‌شود. در عین حال در مواردی که خلوص محصول نهایی از اهمیت و حساسیت ویژه‌ای برخودار باشد، بهره‌گیری از مخلوط ($3Ti + B_4C$) ترجیح داده می‌شود و می‌تواند جایگزین مناسبی برای سترن این نانو کامپوزیت از طریق مخلوط اول (مواد اولیه‌ی عنصری) ($2Ti/2B/C$) گردد که به شدت گران و هزینه بر است.

۵- مراجع

- [1] A.W. Weimer, "Carbide Nitride and Boride Materials Synthesis and Processing", London: Chapman and Hall, pp. 79–113, 1997.

- [20] P. Mogilevsky, A. Wernerand, H. J.Dudek, "Application of Diffusion Barriers in Composite Materials". Mater. Sci. Eng. Vol. 242, pp. 235–247, 1998.
- [21] R. Mousavian, S. Sharafi, M.H. Shariat, "Microwave-Assisted Combustion Synthesis in a Mechanically Activated Al-TiO₂-H₃BO₃ System", Int J Ref Met & Mat, Vol. 52, pp. 123-129, 2010.
- [22] Z. Xinghong, Z. Chungcheng, Q. Wei and V. L Kvanin, "Self-Propagating High Temperature Combustion Synthesis of TiC/TiB₂ Ceramic-Matrix Composites". Compos. Sci. Technol., Vol. 62, pp. 2037–2041, 2002.
- [17] C. H.Grass, D. Vrel, E. Gaffet and J. Bernard, "Mechanical Activated Effect on Self-Sustaining Combustion Reaction in Mo- Si system", Vol. 13, pp. 173-184, 2005.
- [18] V. Gauthier, F. Bernard, E. Gaffet, M. Gailhanou and J.P. Larpin, "Investigation of the Formation Mechanism of Nanostructured NbAl₃ via MASHS Reaction", Intermetallics, Vol. 10, pp. 377–389, 2002.
- [19] J. Li, K. Hu and Y. Zhou, "TiB₂/TiC Nanocomposite Powder Fabricated via High Energy Ball Milling". J. Eur. Ceram. Soc., Vol. 21, pp. 2829–2833, 2001.